

Письма в ЖТФ, том 17, вып. 20

26 октября 1991 г.

07

© 1991

ПРОСТОЙ МЕТОД ФОКУСИРОВКИ ЛАЗЕРНОГО ИЗЛУЧЕНИЯ НА ПОВЕРХНОСТЬ КАНАЛЬНОГО ВОЛНОВОДА

В.А. Сычугов, А.Е. Тихомиров

В настоящее время методы возбуждения оптических волноводов достаточно хорошо разработаны [1]. Для возбуждения планарных волноводов в основном используются призменный и решеточный элементы связи, а также возбуждение через торец, которое применяется гораздо реже. Это связано, во-первых, с относительной простотой первых двух методик и, во-вторых, с отсутствием необходимости полировки торцов волноводов. Для случая же канальных волноводов указанные два метода применяются, однако предпочтительным оказывается метод ввода через торец. Это происходит из-за того, что не удается обеспечить необходимое угловое и пространственное распределение оптического поля в области связи канального волновода и призмы (решетки), используемой для его возбуждения, что приводит к крайне низкой эффективности ввода. Только лишь для решеточного элемента связи в случае падения света под углами, близкими к нормали, можно реализовать ситуацию, когда в плоскости падения света, т.е. в плоскости, параллельной оси канала, расходимость падающего пучка имеет дифракционный характер, а в плоскости, перпендикулярной канальному волноводу, имеет расходимость $\sim \lambda/d$, где λ — длина волны падающего излучения, а d — ширина канального волновода, причем распределение поля по ширине одинаково в любой точке области связи. Соблюдение указанных условий, обеспечивающих достаточно высокую эффективность возбуждения, может быть осуществлено применением соответствующей цилиндрической линзы.

Для случая наклонного падения пучка, который является общим, а кроме того, интересен еще и с точки зрения возможности исполь-

зования призменного элемента связи, использование обычной цилиндрической оптики не приводит к желаемым результатам, т.к. полная ширина поперечного распределения поля различна вдоль канального волновода.

Другими словами, для возбуждения канального волновода под углами, отличными от нормали, для фокусировки падающего излучения требуется цилиндрическая линза с переменным по длине фокусным расстоянием. Простые геометрические соображения показывают, что таким элементом является линза, первоначально выполненная в виде конуса с полным углом раствора 2α (рис. 1) и в дальнейшем сполированная таким образом, что угол θ между образующей конуса и плоскошлифованной его частью равен углу падения света φ .

В общем случае и для любых реальных значений показателя преломления n_m материала, из которого выполнена конусная линза, зависимость фокусного расстояния от координаты x (см. рис. 1) дается соотношением

$$f(x) = \frac{x \operatorname{tg} \alpha}{\sqrt{\operatorname{tg}^2 \alpha + (n_m - 1)^2}}, \quad (1)$$

а углы θ и α связаны между собой следующим образом:

$$\operatorname{tg} \theta = \frac{\operatorname{tg} \alpha}{n_m - 1}.$$

Для случая призменного ввода излучения в канальный волновод конусная линза одновременно может выполнять роль призмы и фокусирующего элемента. Например, для ввода излучения в канальный волновод с эффективным показателем преломления n^* можно использовать конусный элемент, выполненный из материала с показателем преломления n_m , $n_m > n^*$, а угол θ определяется из соотношения $\sin \theta = n^*/n_m$. Так, для диффузионного волновода на основе стекла с характерным значением эффективного показателя преломления $n^* = 1.512$ при использовании для конусной призмы стекла ТФ-5 с $n_m = 1.75$ угол θ составляет 59.7° , а половина полного угла раствора конуса $\alpha = 52^\circ$. Описываемая методика, вообще говоря, достаточно универсальна и может применяться и для других волноводов, в частности на основе ниобата лития. Конусные призмы в этом случае могут изготавливаться, например, из рутила или из GaP . С целью удобства обеспечения оптического контакта конусной призмы, так же как и в случае обычных призм, используемых для ввода излучения в планарный волновод, плоскошлифованная часть, которая непосредственно контактирует с волноводом, может быть заменена поверхностью сферической или цилиндрической формы с большим радиусом кривизны [2]. Что касается применения конусной линзы для фокусировки излучения при вводе в канальный волновод (или выводе из него) с использованием дифракционной решетки, то в этом случае никаких существенных ограничений на материал конусной линзы не накладывается, однако период решетки Λ связан с остальными параметрами устройства: длиной волны излучения λ , углом ввода θ , эффективным показателем

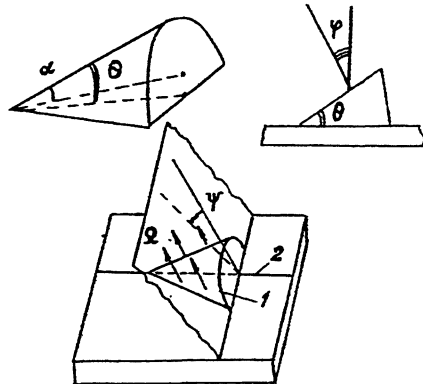


Рис. 1. Схема взаимного расположения конусной линзы и канальноводо-го волновода: 1 - конусная линза; 2 - канальный волновод. Стрелками показано излучение, выводимое из канального волновода. Плоскость Ω параллельна направлению вывода излучения, ее линия пересечения с плоскостью подложки перпендикулярна оси канального волновода. Углом ψ в плоскости Ω обозначено поперечное отклонение излучения.

преломления n^* показателем линзы n_m . В частности, для дифракции в "-1" порядок эта связь имеет вид:

$$\Lambda = \frac{\lambda}{n^* - n_m \sin \theta}. \quad (2)$$

Нами был экспериментально использован описанный конусный элемент для коллимации излучения $\lambda = 0.63$ мкм, выводимого из волокна со сполированной боковой поверхностью и сформированной на ней дифракционной решеткой (см., например, [3]). Фокусирующий элемент был изготовлен из стекла $n_m = 1.512$, полный угол 2α составлял 17° , период решетки Λ был 0.625 мкм. Выходной пучок после линзы имел низкую ($< 1^\circ$) угловую расходимость вдоль и поперек сердцевины волокна. Тем не менее следует заметить, что в самом общем случае структура выходного пучка критична по отношению к поперечным смещению h и угловому развороту β фокусирующего элемента в плоскости волновода. На рис. 2 представлены зависимости поперечного углового смещения ψ выходного пучка от смещения h , посчитанные для линзы, реализованной в эксперименте. Расчет показывает, что зависимость углового смещения ψ пучка от h определяется толщиной конусной линзы. Некритичность к поперечному смещению элемента относительно волновода может быть достигнута путем выбора соответствующего участка фокусирующего элемента, например в нашем случае при выборе участка конуса с $x \geq 17$ мм, где x отсчитывается от вершины конуса, точность по отношению к h оказывается ~ 0.1 мм. Поперечный размер D выходного пучка света при этом определяется по формуле

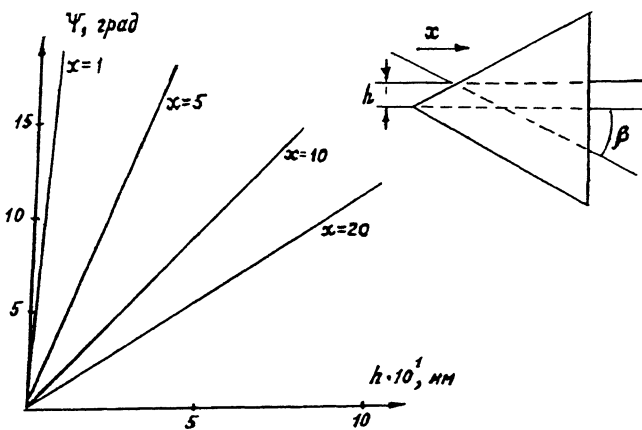


Рис. 2. Зависимость отклонения луча ψ от поперечного смещения фокусирующего элемента h в плоскости подложки при различных значениях координаты x (x указаны в мм).

$$D \approx \frac{\lambda}{n_m \cdot d} \cdot f(x),$$

где d – поперечный размер канального волновода. В нашем случае для основной моды волокна размер D составляет 0.25 мм. Небольшая, как правило, протяженность L участка связи канального волновода (практически 3–4 мм) и соответствующий выбор участка конусной линзы (x) приводит к оценке величины углового разворота ψ по формуле

$$\psi \sim \frac{L \cdot \beta}{2 \cdot f(x)}.$$

В нашем случае (для $\psi = 3^\circ$) L составляла ~ 4 мм и $\beta \sim 6^\circ$.

Все изложенные выше рассуждения проводились для случая нормального (в плоскости рисунка) падения света на поверхность конического фокусирующего элемента (рис. 1), или другими словами, при $\theta = \psi$. Однако нетрудно показать, что при наличии некоторой расстройки Δ , $\Delta = \psi - \theta$, описанный элемент не теряет работоспособность и может применяться в достаточно широком диапазоне Δ ($\sim 10^\circ$).

Относительная расстройка по фокусному расстоянию f (см.(1)) $\frac{\delta f}{f}$ в этом случае имеет вид:

$$\frac{\delta f}{f} \sim \operatorname{tg} \theta \cdot \frac{\Delta}{n_m}. \quad (3)$$

Например, для экспериментально реализованного случая и для $\Delta = 10^\circ$ $\frac{\delta f}{f}$ составляет всего 3%.

Таким образом, предложенный нами способ фокусировки оптического излучения на поверхность канального волновода, с одной стороны, позволяет эффективно и достаточно просто согласовать канальные волноводы с объемными световыми волнами, с другой – не яв-

ляется сильно чувствительным по отношению к смещениям и угловым расстройкам фокусирующего элемента и, кроме того, может успешно применяться для практически любых типов канальных волноводов.

С п и с о к л и т е р а т у р ы

- [1] Т а м и р Т. Интегральная оптика. М.:Мир, 1978. С. 96-154.
- [2] З л е н к о А.А., С ы ч у г о в В.А. // Квантовая электроника. 1973. № 4. С. 16-19.
- [3] С в а х и н А.С., С ы ч у г о в В.А., Т у л а й к о - в а Т.В. // Квантовая электроника, 1986. Т. 13. № 2. С. 440-442.

Поступило в Редакцию
15 июля 1991 г.